

พฤติกรรมของระบบแผ่นพื้น-ตง คอนกรีตเสริมด้วยไม้ไผ่ที่อาบด้วยฟลินท์โคท



นาย อุดม ศัตรศิริกุล

006636

วิทยานิพนธ์นี้เป็นส่วนหนึ่งของการศึกษาตามหลักสูตรปริญญาวิศวกรรมศาสตรมหาบัณฑิต

ภาควิชาวิศวกรรมโยธา

บัณฑิตวิทยาลัย จุฬาลงกรณ์มหาวิทยาลัย

พ.ศ. 2523

BEHAVIOR OF A CONCRETE FLOOR-JOIST SYSTEM  
REINFORCED WITH FLINT COATED BAMBOO

Mr. Udom Chatsirikul

A Thesis Submitted in Partial Fulfillment of the Requirements

for the Degree of Master of Engineering

Department of Civil Engineering

Graduate School

Chulalongkorn University

1980

หัวข้อวิทยานิพนธ์

พฤติกรรมของระบบแผ่นพื้น-ตง คอนกรีตเสริมด้วยไม้ไผ่ที่อาบด้วย  
ฟลินท์โคท

โดย

นาย อุดม ภัทรศิริกุล

ภาควิชา

วิศวกรรมโยธา

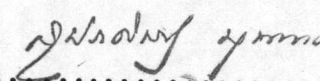
อาจารย์ที่ปรึกษา

ผู้ช่วยคําสตราจารย์ ดร.ปณิธาน สักคุณะประสิทธิ์

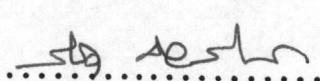
อาจารย์ที่ปรึกษาร่วม

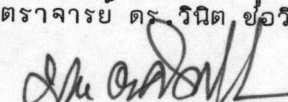
ผู้ช่วยคําสตราจารย์ ดร.ทักษิณ เทพขำตรี

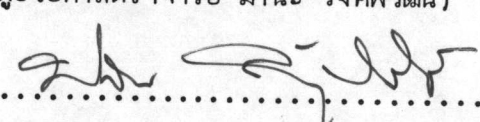
บัณฑิตวิทยาลัย จุฬาลงกรณ์มหาวิทยาลัย อนุมัติให้บัณฑิตวิทยาลัยฉบับนี้เป็นส่วนหนึ่ง  
ของการศึกษาตามหลักสูตรปริญญามหาบัณฑิต

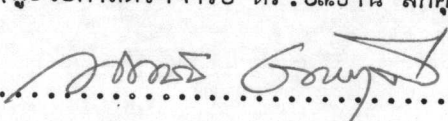
  
..... คณบดีบัณฑิตวิทยาลัย  
(รองคําสตราจารย์ ดร.สุประดิษฐ์ บุนนาค)

คณะกรรมการสอบวิทยานิพนธ์

  
..... ประธานกรรมการ  
(รองคําสตราจารย์ ดร.วินิต ช่อวิเชียร)

  
..... กรรมการ  
(ผู้ช่วยคําสตราจารย์ มานะ วงศ์พิวัฒน์)

  
..... กรรมการ  
(ผู้ช่วยคําสตราจารย์ ดร.ปณิธาน สักคุณะประสิทธิ์)

  
..... กรรมการ  
(ผู้ช่วยคําสตราจารย์ ดร.ทักษิณ เทพขำตรี)

ลิขสิทธิ์ของบัณฑิตวิทยาลัย จุฬาลงกรณ์มหาวิทยาลัย

หัวข้อวิทยานิพนธ์	พฤติกรรมของระบบแผ่นพื้น-ตง คอนกรีต เสริมด้วยไม้มัดที่อาบด้วยฟลินท์โคท
ชื่อผลิต	นาย อุดม ฉัตรศิริกุล
อาจารย์ที่ปรึกษา	ผู้ช่วยศาสตราจารย์ ดร.ปณิธาน ลักคุณะประสิทธิ์
อาจารย์ที่ปรึกษาร่วม	ผู้ช่วยศาสตราจารย์ ดร.ทักษิณ เทพชาตรี
ภาควิชา	วิศวกรรมโยธา
ปีการศึกษา	2522



บทคัดย่อ

งานวิจัยนี้เป็นการศึกษาพฤติกรรมของแผ่นพื้น-ตงคอนกรีตเสริมไม้มัด วกชนิดธรรมดา และที่ได้รับการปรับปรุงผิวด้วยฟลินท์โคทแบบต่าง ๆ เพื่อหาทางแก้ไขการเสื่อมลู่ของกำลังรับน้ำหนักบรรทุกในระยะเวลายาวนานอันเนื่องมาจากการถ่ายเทความชื้นระหว่างไม้มัดกับคอนกรีต ในขั้นต้นของการวิจัยทำการศึกษารูปการปรับปรุงผิวไม้มัดด้วยการทาฟลินท์โคท 1-2 ชั้น ทั้งผลล้มทรายและไม่ล้มทราย หาอัตราการดูดซึมน้ำของไม้มัดและแรงยึดเหนี่ยวระหว่างไม้มัดกับคอนกรีตในระยะเวลาด่าง ๆ กันจนถึง 4 เดือน จากผลระยะสั้นได้เลือกวิธีการปรับปรุงผิวที่ดี (คือให้การดูดซึมน้ำน้อยและแรงยึดเหนี่ยวที่ดี) ไปใช้กับไม้มัดที่เสริมในตงและแผ่นพื้น-ตง คอนกรีตเสริมไม้มัด แล้วทำการทดลองหาพฤติกรรมของตงและแผ่นพื้น-ตงในการบรรทุกน้ำหนักระยะเวลายาวและน้ำหนักค้างเป็นเวลา 2-4 เดือน

ตงที่ใช้มีรูปตัด ที (T) หนา ย ขนาดครึ่งกลางกว้าง 8 ซม. ลึก 9 ซม. ความกว้างของปีกล่างเท่ากับ 40 ซม. หนา 3 ซม. ยาวตงยาว 2.50-3.00 ม. เสริมด้วยไม้มัดประมาณ 1.72-2.27% ของพื้นที่หน้าตัดตง ในการทำแผ่นพื้น-ตงใช้แผ่นคอนกรีตเสริมไม้มัดสำเร็จรูปขนาดกว้าง 37x40 ซม. หนา 3 ซม. วางบนตง แล้วเททับหน้าด้วยคอนกรีตหนา 3 ซม. โดยที่แผ่นพื้น-ตงมีความยาวช่วง 3.00 ม. ไม้มัดเสริมประมาณ 1.13-2.10% ของ

### พื้นที่หน้าตัดแผ่นพื้น-ตง

จากการทดลองพบว่าภายในเวลา 24 ชม.แรก ไม้ไผ่ธรรมชาติดูดน้ำ 21.5-34.2% ของน้ำหนักแห้ง ส่วนไม้ไผ่ปรับปรุงผิวด้วยฟลีนท์โคทดูดน้ำตั้งแต่ 12.2-23.1% ของน้ำหนักแห้งแรงยึดเหนี่ยว เมื่อเวลา 4 เดือน ได้เสื่อมสูญเสียไปจากเมื่อ 2 สัปดาห์ถึง 84% สำหรับไม้ไผ่ธรรมชาติ ส่วนไม้ไผ่ที่ปรับปรุงผิวด้วยฟลีนท์โคทจะเสื่อมสูญเสียไป 54-69% ขึ้นอยู่กับวิธีการปรับปรุงผิว

ผลการทดลองศึกษาพฤติกรรมการรับน้ำหนักบรรทุกทุกของตงและแผ่นพื้น-ตง แสดงว่าตัวควบคุมความสามารถในการรับน้ำหนักของโครงสร้างคอนกรีตเสริมไม้ไผ่ คือเสถียรภาพของแรงยึดเหนี่ยวตัวระหว่างไม้ไผ่กับคอนกรีตอันเป็นผลเนื่องมาจากการถ่ายเทความชื้นของไม้ไผ่ในระยะเวลายาวนาน และแผ่นพื้น-ตงที่เสริมด้วยไม้ไผ่ปรับปรุงผิวมีพฤติกรรมในการรับน้ำหนักบรรทุกค้างไว้ได้ดีกว่าแผ่นพื้น-ตงที่เสริมด้วยไม้ไผ่ธรรมชาติ

9

Thesis Title	Behavior of A Concrete Floor-Joist System Reinforced With Flint Coated Bamboo
Name	Mr. Udom Chatsirikul
Thesis Advisor	Assistant Professor Panitan Lukkunaprasit, Ph.D.
Thesis Co-Advisor	Assistant Professor Thaksin Thepchatri, Ph.D.
Department	Civil Engineering
Academic Year	1979

#### ABSTRACT

The purpose of this research is to study the behavior of a concrete floor-joist system reinforced with plain and flint coated Pai Ruak bamboo bars, with an aim to reduce the deterioration of the long term load capacity caused by moisture transfer between bamboo and concrete. In the first part of study, the bamboo was treated by applying 1 to 2 layers of plain flint coat or flint coat mixed with sand. The rate of water absorption and bond strength between bamboo and concrete were determined at different periods of time up to 4 months. Two methods of bamboo treatment which yielded less water absorption and good bond strength in short term were subsequently employed in the bamboo-reinforced concrete joist and floor-joist slabs. The behavior of joists and slabs under short term and sustained loadings in the period of 2-4 months was then investigated.

The inverted T-section joists tested consisted of webs with 8x9 cm. cross section and bottom flanges 40 cm. wide with 3 cm. thickness. The span length was 3.00 m. except for two joists which were 2.50 m. The ratio of bamboo reinforcement area to that of concrete cross section ranged from 1.72 to 2.27%. For the construction of the concrete floor-joist slabs, 37x40 cm. precast bamboo-reinforced concrete panels were placed on the joists and a 3 cm. concrete topping was cast on top. The span length was 3.00 m. and the ratio of bamboo-reinforcement area to concrete cross sectional area was about 1.13 to 2.10%.

The rate of water absorption of plain bamboo was found to be about 21.5-34.2% in 24 hours. The corresponding value for flint coated bamboo range from 12.2 to 23.1%. At the end of four months, The bond strength between plain bamboo and concrete decreased by 84% compared with the bond strength at the age of two weeks. For flint coated bamboo, the reduction was about 54-69% depending on the type of the surface treatment.

The results of load tests of joists and slabs show that the load carrying capacity of bamboo-reinforced concrete structure is controlled by the stability of bond between bamboo and concrete as long term moisture movement in the bamboo takes place. The long term behavior of floor-joist systems reinforced with bamboo bars treated in this study was found to be superior to that of plain bamboo-reinforced concrete floors.



### กิตติกรรมประกาศ

ในการเขียนวิทยานิพนธ์เรื่องนี้ ผู้เขียนขอกราบขอบพระคุณ ผู้ช่วยศาสตราจารย์ ดร.ปณิธาน ลักคุณะประสิทธิ์ ซึ่งเป็นอาจารย์ผู้ควบคุมการวิจัย และ ผู้ช่วยศาสตราจารย์ ดร.ทักษิณ เทพชาตรี ซึ่งเป็นอาจารย์ผู้ควบคุมการวิจัยร่วม ที่กรุณาให้คำปรึกษาและแนะนำความรู้ทั้งทางภาคทฤษฎีและภาคปฏิบัติตลอดจนตรวจล่อบกแก้ไขวิทยานิพนธ์จนจบ

ผู้เขียนขอกราบขอบพระคุณคณะกรรมการตรวจวิทยานิพนธ์ รองศาสตราจารย์ ดร.วิณิต ช่อวิเชียร ผู้ช่วยศาสตราจารย์ ฆานะ วงศ์พิวัฒน์ ที่กรุณาตรวจวิทยานิพนธ์ฉบับนี้ จนสำเร็จเรียบร้อย

ผู้เขียนขอขอบคุณ บิดา มารดา ของผู้เขียน บัณฑิตวิทยาลัย รองศาสตราจารย์ ธารง เปรมปรดี และผู้ช่วยศาสตราจารย์ ดร.ปณิธาน ลักคุณะประสิทธิ์ ที่ให้เงินอุดหนุนการวิจัย ภาควิชาวิศวกรรมโยธา คณะวิศวกรรมศาสตร์ จุฬาลงกรณ์มหาวิทยาลัย ที่เอื้อเพื่อสถานที่และเครื่องมือสำหรับการทดลอง ขอขอบคุณเจ้าหน้าที่ของภาควิชาวิศวกรรมโยธาและเพื่อน ๆ ที่ได้ให้ความช่วยเหลือในการวิจัยครั้งนี้

อุดม ฉัตรศิริกุล



สารบัญ

หน้า

บทคัดย่อภาษาไทย .....	ง
บทคัดย่อภาษาอังกฤษ .....	จ
กิตติกรรมประกาศ .....	ช
สารบัญ .....	ณ
รายการตารางประกอบ .....	ฉ
รายการรูปประกอบ .....	ค
สัญลักษณ์ .....	ด
นิยามของคำต่าง ๆ ที่ใช้ในภาษาเทคนิค .....	ต



บทที่

1. บทนำ .....	1
1.1 ความเป็นมาของปัญหา .....	1
1.2 การสำรวจการวิจัยอื่น ๆ ที่เกี่ยวข้องซึ่งได้กระทำมาแล้ว ...	2
1.3 วัตถุประสงค์และขอบข่ายของการวิจัย .....	10
1.4 ประโยชน์ที่จะได้รับจากการวิจัย .....	11
1.5 วิธีดำเนินการวิจัย .....	11
2. ทฤษฎี .....	12
2.1 สัมมุติฐานเบื้องต้นสำหรับการวิเคราะห์ที่ตั้งและแผ่นพื้นคอนกรีต เสริมไม้อัด .....	12

บทที่	หน้า
2.2 ทฤษฎีอีลัสติกของตงและแผ่นพื้นคอนกรีตเสริมไม้ไผ่ .....	12
2.3 ทฤษฎีกำลังประลัยของตงและแผ่นพื้นคอนกรีตเสริมไม้ไผ่ .....	17
3. การทดลองหาอัตราการดูดซึมน้ำและการยึดเหนี่ยวระหว่างคอนกรีต กับไม้ไผ่ที่มีผิวลักษณะต่าง ๆ กัน .....	20
3.1 วิธีดูที่ใช้ในการทดลอง .....	20
3.2 ตัวอย่างที่ใช้ในการทดลอง .....	21
3.3 เครื่องมือที่ใช้ในการทดลอง .....	22
3.4 การทดลองหาอัตราการดูดซึมน้ำของไม้ไผ่และแรงยึดเหนี่ยว ระหว่างไม้ไผ่กับคอนกรีต .....	23
3.5 ผลการทดลองหาอัตราการดูดซึมน้ำและแรงยึดเหนี่ยวระหว่าง ไม้ไผ่กับคอนกรีต .....	24
4. การทดลองตงและแผ่นพื้น-ตง คอนกรีตเสริมไม้ไผ่ .....	28
4.1 การสร้างตงและแผ่นพื้น-ตง .....	28
4.2 วิธีการก่อสร้างตงและแผ่นพื้น-ตงที่ใช้ในการทดลอง .....	29
4.3 เครื่องมือต่าง ๆ ที่ใช้ .....	30
4.4 การทดลองหาการรับน้ำหนักบรรทุกของตงและแผ่นพื้น-ตง ...	31
4.5 ผลการทดลองการรับน้ำหนักบรรทุกของตงและแผ่นพื้น-ตง ...	32
5. สรุปผลการวิจัยและข้อเสนอแนะในการวิจัยขั้นต่อไป .....	42
5.1 สรุปผลการวิจัย .....	42
5.2 ข้อเสนอแนะในการวิจัยขั้นต่อไป .....	43
เอกสารอ้างอิง .....	44
ภาคผนวก .....	97
ประวัติ .....	103

รายการตารางประกอบ

ตารางที่	หน้า
3.1 คุณสมบัติการรับแรงดึงของไม้ไผ่เสริม .....	46
3.2 แรงยึดเหนี่ยวระหว่างไม้ไผ่กับคอนกรีต เมื่ออายุ 7 วัน (การทดลอง ชุดที่ 1) .....	47
3.3 แรงยึดเหนี่ยวระหว่างไม้ไผ่กับคอนกรีต เมื่ออายุ 7 วัน (การทดลองชุดที่ 2) .....	48
3.4 การเปรียบเทียบระหว่างแรงยึดเหนี่ยวช่วงระยะเวลาสั้นกับการดูดซึมน้ำ .	49
3.5 แรงยึดเหนี่ยวระหว่างไม้ไผ่กับคอนกรีต เมื่ออายุ 2 สัปดาห์ .....	50
3.6 แรงยึดเหนี่ยวระหว่างไม้ไผ่กับคอนกรีต เมื่ออายุ 2 เดือน .....	51
3.7 แรงยึดเหนี่ยวระหว่างไม้ไผ่กับคอนกรีต เมื่ออายุ 4 เดือน .....	52
4.1 รายละเอียดของตงและแผ่นพื้น-ตง ที่ใช้ในการทดลอง .....	53
4.2 กำลังอัดประลัยของแท่งคอนกรีตรูปทรงกระบอก .....	55
4.3 โปรแกรมการทดลองตงและแผ่นพื้น-ตง ในการวิจัย .....	56
4.4 น้ำหนักบรรทุกของตงและแผ่นพื้น-ตง ที่ค่าต่าง ๆ .....	57

## รายการรูปประกอบ

รูปที่

หน้า

2.1 (ก)	หน้าตัดของตงคอนกรีตเสริมไม้ไผ่รูปทรงแบบ	58
(ข)	หน้าตัดของแผ่นพื้นคอนกรีตเสริมไม้ไผ่	58
2.2 (ก)	หน้าตัดของตงรูปทรงแบบคอนกรีตเสริมไม้ไผ่	58
(ข)	แสดงหน่วยแรงและระยะต่าง ๆ	58
(ค)	แสดงหน่วยการหดตัวของคอนกรีตและหน่วยการยืดของไม้ไผ่	58
2.3 (ก)	หน้าตัดของตงคอนกรีตเสริมไม้ไผ่รูปทรงแบบ	58
(ข)	การกระจายของหน่วยการยืดและหดตัวที่จุดประลัย	58
(ค)	การกระจายของหน่วยแรงที่จุดประลัย	58
3.1 (ก)	ตัวอย่างไม้ไผ่ที่ใช้ในการทดลองหาการรับแรงดึงของไม้ไผ่	59
(ข)	ตัวอย่างไม้ไผ่ที่ใช้ในการทดลองหาแรงยึดเหนี่ยวของไม้ไผ่ กับคอนกรีต	59
3.2	การทดลองหาการรับแรงดึงของไม้ไผ่	60
3.3	ตัวอย่างของไม้ไผ่ที่วัดจากการทดลองหาการรับแรงดึงของไม้ไผ่	60
3.4	ความสัมพันธ์ระหว่างหน่วยแรงดึงกับความเครียดของไม้ไผ่	61
3.5	การทดลองหาแรงยึดเหนี่ยวระหว่างไม้ไผ่กับคอนกรีต	62
3.6	ตัวอย่างไม้ไผ่ที่วัดจากการทดลองหาแรงยึดเหนี่ยวระหว่างไม้ไผ่ กับคอนกรีต	62
3.7	ค่าเฉลี่ยของเปอร์เซ็นต์การดูดซึมน้ำของไม้ไผ่ที่มีผิวลักษณะต่าง ๆ กัน เมื่อ 24 ชม. (การทดลองชุดที่ 2)	63
3.8	การกระจายของการดูดซึมน้ำที่แปรเปลี่ยนตามเวลาของไม้ไผ่ต่าง ๆ กัน (การทดลองชุดที่ 1) เปรียบเทียบกับการทดลองของฟางและเพี้ย	64

## รูปที่

## หน้า

3.9 การกระจายของการดูดซึมน้ำที่แปร เปลี่ยนตามเวลาของไม้ไผ่ต่าง ๆ กัน (การทดลองชุดที่ 2) เปรียบเทียบกับการทดลองของฟางและเพี้ย	65
3.10 ความสัมพันธ์ระหว่างน้ำหนักบรทุกกับการ เลื่อนตัวของไม้ไผ่ สัมพันธ์กับคอนกรีต .....	66
3.11 ความสัมพันธ์ระหว่างน้ำหนักบรทุกกับการ เลื่อนตัวของไม้ไผ่ สัมพันธ์กับคอนกรีต. (ต่อ) .....	67
3.12 หน่วยแรงยึดเหนี่ยวของไม้ไผ่ที่มีผิวลักษณะต่าง ๆ กัน แปรเปลี่ยน ตามเวลา .....	68
4.1 ลักษณะหน้าตัด การวางและการใส่ไม้ไผ่เสริมของตงในโครงการที่ 1 และโครงการที่ 4 .....	69
4.2 ลักษณะหน้าตัด การวางและการใส่ไม้ไผ่เสริมของแผ่นพื้น-ตง ในโครงการที่ 2 .....	69
4.3 ลักษณะหน้าตัด การวางและการใส่ไม้ไผ่เสริมของแผ่นพื้น-ตง ในโครงการที่ 3 .....	70
4.4 ลักษณะหน้าตัด การวางและการใส่ไม้ไผ่เสริมของแผ่นพื้น-ตง ในโครงการที่ 5 .....	70
4.5 ความสัมพันธ์ระหว่างน้ำหนักบรทุกกับระยะโง่งของตง B1 น และ B2 น .....	71
4.6 ความสัมพันธ์ระหว่างน้ำหนักบรทุกกับระยะโง่งของตง B3 F16 (1) และตง B4 F3 (S1) .....	72
4.7 ความสัมพันธ์ระหว่างน้ำหนักบรทุกกับระยะโง่งของตง B6 F3 (S1)	73
4.8 ความสัมพันธ์ระหว่างน้ำหนักบรทุกกับระยะโง่งของแผ่นพื้น-ตง S2 น	74

4.9 ความสัมพันธ์ระหว่างอัตราส่วนของระยะโค้งของตงในแต่ละวัน ต่อ ระยะโค้งเริ่มแรกของ ตง B5 F16 (1) และตง B6 F3 (S1)...	75
4.10 ความสัมพันธ์ระหว่างอัตราส่วนของระยะโค้งของแผ่นพื้น-ตง ใน แต่ละวันต่อระยะโค้งเริ่มแรกของแผ่นพื้น S3 น S4 F16 (1) S5 น และ S6 F16 (1) .....	76
4.11 ความสัมพันธ์ระหว่างน้ำหนักบรรทุกกับความเครียดของไม้ไผ่ของ ตง B3 F16 (1) และตง B4 F3 (S1) .....	77
4.12 ความสัมพันธ์ระหว่างน้ำหนักบรรทุกกับความเครียดของไม้ไผ่เส้น กลาง บริเวณกึ่งกลางตงและคอนกรีตผิวบนของตง B6 F3 (S1) .	78
4.13 ความสัมพันธ์ระหว่างน้ำหนักบรรทุกกับความเครียดของไม้ไผ่เส้น กลาง ของแผ่นพื้น-ตง S2 น .....	79
4.14 ความสัมพันธ์ระหว่างน้ำหนักบรรทุกกับความเครียดของคอนกรีต ของตง B3 F16 (1) และตง B4 F3 (S1) .....	80
4.15 ความสัมพันธ์ระหว่างน้ำหนักบรรทุกกับความเครียดของคอนกรีต ผิวบนของแผ่นพื้น-ตง S2 น .....	81
4.16 กราฟความสัมพันธ์ระหว่างความเครียดของคอนกรีตผิวบนกับเวลา ของตง B5 F16 (1) และตง B6 F3 (S1) .....	82
4.17 กราฟความสัมพันธ์ระหว่างความเครียดของคอนกรีตผิวบนกับเวลา ของแผ่นพื้น-ตง S3 น S4 F16 (1) S5 น และ S6 F16 (1) .....	83
4.18 ลักษณะการแตกร้าวของตง B1 น .....	84
4.19 ลักษณะการแตกร้าวของตง B2 น .....	85

## รูปที่

## หน้า

4.20	ลักษณะการแตกตัวของตง B3 F16 (1) .....	86
4.21	ลักษณะการแตกตัวของตง B4 F3 (S1) .....	87
4.22	ลักษณะการแตกตัวของตง B5 F16 (1) .....	88
4.23	ลักษณะการแตกตัวของตง B6 F3 (S1) .....	89
4.24	ลักษณะการแตกตัวของแผ่นพื้น-ตง S1 น .....	90
4.25	ลักษณะการแตกตัวของแผ่นพื้น-ตง S2 น .....	91
4.26	ลักษณะการแตกตัวของแผ่นพื้น-ตง S4 F16 (1) .....	92
4.27	ลักษณะการแตกตัวของแผ่นพื้น-ตง S5 น .....	93
4.28	ลักษณะการแตกตัวของแผ่นพื้น-ตง S6 F16 (1) .....	94
4.29	ลักษณะของแผ่นพื้น-ตง ก่อนการทดสอบกรัดทับหน้า .....	95
4.30	แสดงการทดลองบรรจุทุกน้ำหนักที่จุดแบ่งสามบนแผ่นพื้น-ตง .....	95
4.31	แสดงการทดลองบรรจุทุกน้ำหนักข้างไว้บนตง .....	96
4.32	แสดงการทดลองบรรจุทุกน้ำหนักข้างไว้บนแผ่นพื้น-ตง .....	96
4.33	ลักษณะของตงภายหลังการวิบัติจากการทดลองบรรจุทุกน้ำหนักที่จุด แบ่งสาม .....	97
4.34	ลักษณะของแผ่นพื้น-ตงภายหลังการวิบัติจากการทดลองบรรจุทุกน้ำหนัก ที่จุดแบ่งสาม .....	97



## สัญลักษณ์

a	ความลึกของบล็อกหน่วยแรงรูปสี่เหลี่ยมผืนผ้า เทียบเท่า มีค่า $= k_1 c$
$A_b$	เนื้อที่หน้าตัดของไม้ไผ่ เสริม
b	ความกว้างของผิวหน้าซึ่งรับแรงอัดของแผ่นพื้น-ตง
b'	ความกว้างของผิวหน้าซึ่งรับแรงอัดของตง
c	ระยะจากขอบผิวซึ่ง เกิดแรงอัดสูงสุดไปยังแกนละ เกินที่กำลังประลัย
C	แรงอัดในคอนกรีต
d	ความลึกประสิทธิภาพของตงหรือแผ่นพื้น-ตง
$\Delta$	ระยะโก่งของตงหรือแผ่นพื้น-ตง ตรงกึ่งกลางระหว่างฐานรองรับ
$\epsilon_b$	ความเครียดของไม้ไผ่
$\epsilon_{bu}$	ความเครียดสูงสุดของไม้ไผ่ ณ จุดประลัย
$\epsilon_c$	ความเครียดของคอนกรีต
$\epsilon_u$	ความเครียดสูงสุดของคอนกรีต ณ จุดประลัย
$E_b$	โมดูลัสยืดหยุ่นของไม้ไผ่
$E_c$	โมดูลัสยืดหยุ่นของคอนกรีต
$f_b$	หน่วยแรงดึงของไม้ไผ่
$f_c$	หน่วยแรงอัดของคอนกรีต
$f'_c$	หน่วยแรงอัดประลัยของคอนกรีต
$f_{bu}$	หน่วยแรงดึงประลัยของไม้ไผ่
$f_r$	โมดูลัสแตกร้าวของคอนกรีต
$I_c$	โมเมนต์อินเนอร์เซียประสิทธิภาพ
$I_g$	โมเมนต์อินเนอร์เซียของหน้าตัดทั้งหมด
L	ความยาวประสิทธิภาพของตงและแผ่นพื้น-ตง



$M_b$	โมเมนต์ดัดของไม้ไผ่เสริม
$M_c$	โมเมนต์ดัดของคอนกรีต
$M_{cr}$	โมเมนต์ดัดแตกกร้าว
$M_u$	โมเมนต์ดัดประลัยใช้งาน
$M'_u$	โมเมนต์ดัดประลัย
$n_b$	อัตราส่วนโมดูลัสยืดหยุ่นของไม้ไผ่ต่อของคอนกรีต
$P$	น้ำหนักบรรทุกที่กดลงทั้งหมดของการทดลองแบบบรรทุกน้ำหนักที่จุดแบ่งสาม
$f_b$	อัตราส่วนของไม้ไผ่เสริมรับแรงดึงต่อเนื้อที่ประสิทธิภาพของคอนกรีต
$f_{bb}$	อัตราส่วนของไม้ไผ่เสริมซึ่งทำให้เกิดสภาวะล้มดูลย์ ณ กำลังประลัย
$t$	ความหนาของปีกบนและปีกล่างของแผ่นพื้น-ตง
$T$	แรงดึงของไม้ไผ่เสริม
$u$	หน่วยแรงยึดเหนี่ยว
$u_u$	หน่วยแรงยึดเหนี่ยวประลัย
$v$	หน่วยแรงเฉือน
$v_u$	หน่วยแรงเฉือนประลัย
$V$	แรงเฉือนทั้งหมด
$V_u$	แรงเฉือนประลัยทั้งหมด
$\Sigma O$	ผลรวมของเส้นรอบรูปของไม้ไผ่เสริม
$\emptyset$	ตัวคูณลดค่ากำลังประลัย

นิยามของคำต่าง ๆ ที่ใช้ในภาษาเทคนิค

การโก่งตัว ระยะโก่ง	Deflection
การดูดซึม	Absorption
การวิบัติ	Failure
การรับแรงดึง	Tensile Strength
การยึดเหนี่ยว แรงยึดเหนี่ยว	Bond Strength
การเลื่อน	Slip
เกจวัดความเครียดแบบกล	Mechanical Strain Gage
เกจวัดความเครียดแบบไฟฟ้า	Electrical Strain Gage
เกจวัดระยะโก่ง เกจวัดระยะยึดหด	Mechanical Dial Gage
แกนสะเทิน	Neutral Axis
การรับน้ำหนักบรรทุกทุกช่วงสั้น	Short Term Loading
การรับน้ำหนักบรรทุกทุกค้ำไว้	Sustained Loading
การแตกร้าวเริ่มแรก	First Crack
การแตกร้าวเนื่องจากแรงดัด	Flexural Cracking
การแตกร้าวเนื่องจากแรงดึงทะแยง	Diagonal Tension Cracking
การอัด-ดัดวิบัติ	Compression Flexural Failure
การวิบัติเนื่องจากแรงเฉือน	Shear Failure
คานธรรมดาช่วงเดียว	Simply Supported Beam
ความเครียด	Strain
ค่าเพื่อความปลอดภัย	Factor of Safety
แตกร้าว	Crack
น้ำหนักบรรทุก	Load
บรรทุกน้ำหนักที่จุดแบ่งสาม	Third Point Loading



น้ำหนักบรรทุกจร	Live Load
น้ำหนักบรรทุกคงที่	Dead Load
น้ำหนักบรรทุกใช้งาน	Service Load,
น้ำหนักบรรทุกประลัย	Ultimate Load
โมดูลัสยืดหยุ่น	Modulus of Elasticity
โมเมนต์ แรงดัด	Moment
โมเมนต์อินเนอร์เซีย	Moment of inertia
ระนาบ	Plane
แรงเฉือน	Shear Force
ระยะโก่ง	Deflection
หน่วยแรง	Stress
หน่วยแรงดึง หน่วยการรับแรงดึง	Tensile Stress
หน่วยแรงอัด	Compressive Stress
หน่วยแรงยึดเหนี่ยว	Bond Stress
หน่วยแรงเฉือน	Shear Stress